

Sprawozdanie 2

Aleksander Głowacki

04.11.2022

Spis treści

| | | |
|----------|------------------------------|----------|
| 1 | Zadanie 1. | 3 |
| 1.1 | Opis problemu | 3 |
| 1.2 | Sposób rozwiązania | 3 |
| 1.3 | Wyniki | 3 |
| 1.4 | Wnioski | 3 |
| 2 | Zadanie 2. | 4 |
| 2.1 | Opis problemu | 4 |
| 2.2 | Sposób rozwiązania | 4 |
| 2.3 | Wyniki | 4 |
| 2.4 | Wnioski | 5 |
| 3 | Zadanie 3. | 5 |
| 3.1 | Opis problemu | 5 |
| 3.2 | Sposób rozwiązania | 5 |
| 3.3 | Wyniki | 6 |
| 3.4 | Wnioski | 7 |
| 4 | Zadanie 4. | 8 |
| 4.1 | Opis problemu | 8 |
| 4.2 | Sposób rozwiązania | 8 |
| 4.3 | Wyniki | 9 |
| 4.4 | Wnioski | 10 |

| | | |
|----------|------------------------------|-----------|
| 5 | Zadanie 5. | 11 |
| 5.1 | Opis problemu | 11 |
| 5.2 | Sposób rozwiązania | 11 |
| 5.3 | Wyniki | 11 |
| 5.4 | Wnioski | 11 |
| 6 | Zadanie 6. | 12 |
| 6.1 | Opis problemu | 12 |
| 6.2 | Wyniki | 12 |
| 6.3 | Wnioski | 12 |

1 Zadanie 1.

1.1 Opis problemu

Sprawdzenie czy niewielkie zaburzenie danych ma wpływ na wyniki.

1.2 Sposób rozwiązania

Kopiuję kod i kasuję dwie cyferki z danych.

1.3 Wyniki

Tabela 1: Porównanie wyników we Float 32

Tabela 2: Lista 1

| alg | wynik |
|-----|---------------------|
| 1 | -0.3472038161853561 |
| 2 | -0.3472038162872195 |
| 3 | -0.5 |
| 4 | -0.5 |

Tabela 3: Lista 2

| alg | wynik |
|-----|---------------------|
| 1 | -0.3472038161889941 |
| 2 | -0.3472038162872195 |
| 3 | -0.5 |
| 4 | -0.5 |

Tabela 4: Porównanie wyników we Float 64

Tabela 5: Lista 1

| alg | wynik |
|-----|-------------------------|
| 1 | 1.0251881368296672e-10 |
| 2 | -1.5643308870494366e-10 |
| 3 | 0.0 |
| 4 | 0.0 |

Tabela 6: Lista 2

| alg | wynik |
|-----|-----------------------|
| 1 | -0.004296342739891585 |
| 2 | -0.004296342998713953 |
| 3 | -0.004296342842280865 |
| 4 | -0.004296342842280865 |

1.4 Wnioski

1. We Float 32 ta zmiana danych spowodowała nieznaczną zmianę wyników.
2. We Float 64 zmiany są istotne.

2 Zadanie 2.

2.1 Opis problemu

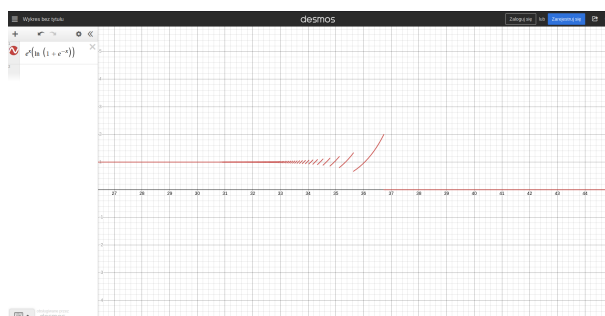
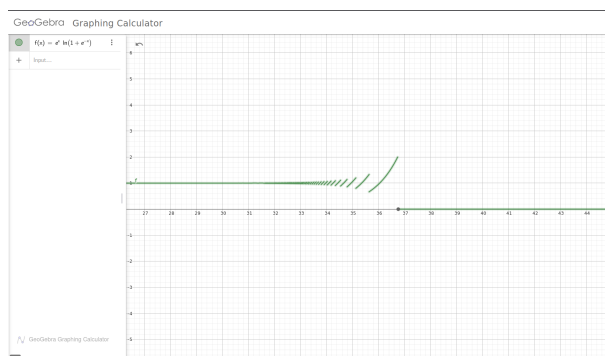
Porównanie obliczonej granicy funkcji z jej wykresem wygenerowanym w jakimś programie.

$$f(x) = e^x(\ln(1 + e^{-x}))$$

2.2 Sposób rozwiązania

$$\begin{aligned} \lim_{x \rightarrow \infty} e^x(\ln(1 + e^{-x})) &= \lim_{x \rightarrow \infty} \frac{\ln(1 + e^{-x})}{e^{-x}} \xrightarrow{\text{L'Hospital}} \lim_{x \rightarrow \infty} \frac{-\frac{e^{-x}}{e^{-x}+1}}{-e^{-x}} = \\ \lim_{x \rightarrow \infty} \frac{1}{e^{-x}+1} &= 1 \end{aligned}$$

2.3 Wyniki



2.4 Wnioski

1. Wykres nie pokrywa się z rzeczywistą granicą funkcji: w okolicy $x = 35$ spada do 0.
2. Epsilon maszynowy dla typu Float64 jest rzędu 10^{-16} .
3. Funkcja $g(x) = (1 + e^{-x})$ dla wartości $x > 34$ spada do epsilon maszynowego i w rezultacie spada do jedynki. Zaś $\ln(1) = 0$
4. Fluktuacje wykresu na odcinku $(33, 37)$ wynikają ze skończonej gęstości liczb blisko 1, dlatego wykres nie jest ciągły - to przeskoki funkcji $\ln(g(x))$.
5. A gdy granica epsilon maszynowego pękła, wykres zwariował i po dziś dzień grasuje na linii zera.

3 Zadanie 3.

3.1 Opis problemu

Rozwiązanie układu równań liniowych postaci $Ax = b$, gdzie A - macierz współczynników, x - wektor niewiadomych, b - zadany wektor wyrazów wolnych.

3.2 Sposób rozwiązania

W pierwszej kolejności należy przygotować dane.

1. Generujemy macierze: Hilberta i Randomową
2. Mnożymy je z wektorem x , aby otrzymać wektor b
3. Mając zadaną macierz A i wektor b rozwiązujemy układ równań dwiema metodami - eliminacji Gaussa oraz inwersji.
4. Otrzymany wektor x' porównujemy z oryginalnym x , oceniając skuteczność algorytmów. Żeby dało się zatabelkować liczymy normę wektora. Dla oryginalnego $= 1$.

3.3 Wyniki

Tabela 7: Macierz Hilberta

| n | rank | cond | norm(x-inverse) | norm(x-gauss) |
|----|------|-----------------------|-----------------------|------------------------|
| 1 | 1 | 1.0 | 0.0 | 0.0 |
| 3 | 3 | 524.0567775860644 | 0.0 | 1.389554002205336e-14 |
| 5 | 5 | 476607.25024259434 | 7.500747052839271e-12 | 3.7629505159417226e-12 |
| 7 | 7 | 4.75367356583129e8 | 1.2470167790391696e-8 | 3.335463548676909e-8 |
| 9 | 9 | 4.931537564468762e11 | 1.3623804909529929e-5 | 1.1625490255509743e-5 |
| 11 | 10 | 5.222677939280335e14 | 0.025267056849832565 | 0.0005249490091577049 |
| 13 | 11 | 3.344143497338461e18 | 19.222187681585524 | 0.39804208446271144 |
| 15 | 12 | 3.674392953467974e17 | 28.44567403176546 | 18.19011830553027 |
| 17 | 12 | 1.263684342666052e18 | 43.36246428455144 | 56.51638468279824 |
| 19 | 13 | 6.471953976541591e18 | 53.325729614779235 | 42.371068229087264 |
| 21 | 13 | 3.290126328601399e18 | 199.22887541330184 | 258.4695319671756 |
| 23 | 13 | 6.313778670724671e17 | 66.2006254719103 | 59.86950653973175 |
| 25 | 13 | 1.3719347461445998e18 | 84.69938964854735 | 50.795974216939854 |
| 27 | 14 | 4.424587877361583e18 | 146.0415785777959 | 160.056977186448 |
| 29 | 14 | 8.05926200352767e18 | 1442.9165140119494 | 95.55951141201861 |

Ta macierz jest bardzo źle uwarunkowana.

Tabela 8: Macierz Randomowa

| n | rank | cond | norm(x-inverse) | norm(x-gauss) |
|----|------|-----------------------|------------------------|------------------------|
| 5 | 5 | 1.0000000000000001 | 3.8459253727671276e-16 | 0.0 |
| 5 | 5 | 10.000000000000004 | 5.438959822042073e-16 | 2.220446049250313e-16 |
| 5 | 5 | 999.999999999565 | 3.891802844472395e-14 | 3.0787427327232494e-14 |
| 5 | 5 | 1.00000000610769e7 | 5.342753065833187e-10 | 5.483178137661799e-10 |
| 5 | 5 | 9.999080208039573e11 | 6.459691704512062e-5 | 4.939095563889871e-5 |
| 5 | 4 | 8.35707807125492e15 | 0.41912823576094815 | 0.40125027718625494 |
| 10 | 10 | 1.0000000000000013 | 8.741904837807691e-16 | 7.529898907871222e-16 |
| 10 | 10 | 10.000000000000014 | 7.108895957933346e-16 | 8.881784197001252e-16 |
| 10 | 10 | 999.999999999897 | 1.8374778024090335e-14 | 1.9897476392944793e-14 |
| 10 | 10 | 1.000000002327014e7 | 1.1867173858710762e-9 | 1.1801631451217697e-9 |
| 10 | 10 | 1.0000047652400917e12 | 0.00014673264147786112 | 0.00013773168775276244 |
| 10 | 9 | 7.555737189542885e16 | 0.610975462375536 | 0.5529051624812602 |
| 20 | 20 | 1.0000000000000001 | 1.6910413304902302e-15 | 2.837048893407221e-15 |
| 20 | 20 | 9.99999999999988 | 3.1869396220701337e-15 | 3.420135685938544e-15 |
| 20 | 20 | 1000.0000000000271 | 1.2184483994422223e-13 | 1.154249709415512e-13 |
| 20 | 20 | 9.99999999786278e6 | 1.0955572491930047e-9 | 9.758161752695135e-10 |
| 20 | 20 | 9.999840704839703e11 | 4.9268205710210866e-5 | 2.238852829593131e-5 |
| 20 | 19 | 2.045522441369736e16 | 0.7176266059425617 | 0.7824065888781212 |

3.4 Wnioski

1. Poziom uwarunkowania macierzy wpływa na dokładność wyników proporcjonalnie.
2. W macierzy hilberta wszystkie wyniki są mocno zaburzone
3. W macierzy zrandomizowanej dla niskiego wskaźnika cond błąd względny jest niewielki.
4. Błąd dla macierzy zrandomizowanej nie zależy od jej rozmiaru.

4 Zadanie 4.

4.1 Opis problemu

Wyznaczenie zer wielomianu Wilkinsona metoda "roots"z pakietu Polynomials. Zbadanie poprawności wyników metodami:

1. $|P(z_k)|$
2. $|p(z_k)|$
3. $|z_k - k|$

Gdzie p - postać iloczynowa wielomianu, P - naturalna.

Powtórzenie eksperymentu na wielomianie, gdzie współczynnik -210.0 został zmieniony na $-210.0 - 2^{-23}$,

4.2 Sposób rozwiązania

1. zapisuję wielomian w postaci kanoniczej oraz iloczynowej za pomocą funkcji *Polynomial* i *fromroots*
2. wyznaczam miejsca zerowe wielomianu funkcją *roots*

4.3 Wyniki

Tabela 9: Sprawdzenie wyznaczonych zer na oryginalnym wielomianie

| k | $ P(z_k) $ | $ p(z_k) $ | $ z_k - k $ |
|----------|-----------------------|-----------------------|------------------------|
| 1 | 35696.50964788257 | 5.518479490350445e6 | 3.0109248427834245e-13 |
| 2 | 176252.60026668405 | 7.37869762990174e19 | 2.8318236644508943e-11 |
| 3 | 279157.6968824087 | 3.3204139316875795e20 | 4.0790348876384996e-10 |
| 4 | 3.0271092988991085e6 | 8.854437035384718e20 | 1.626246826091915e-8 |
| 5 | 2.2917473756567076e7 | 1.8446752056545688e21 | 6.657697912970661e-7 |
| 6 | 1.2902417284205095e8 | 3.320394888870117e21 | 1.0754175226779239e-5 |
| 7 | 4.805112754602064e8 | 5.423593016891273e21 | 0.00010200279300764947 |
| 8 | 1.6379520218961136e9 | 8.262050140110275e21 | 0.0006441703922384079 |
| 9 | 4.877071372550003e9 | 1.196559421646277e22 | 0.002915294362052734 |
| 10 | 1.3638638195458128e10 | 1.655260133520688e22 | 0.009586957518274986 |
| 11 | 3.585631295130865e10 | 2.24783329792479e22 | 0.025022932909317674 |
| 12 | 7.533332360358197e10 | 2.886944688412679e22 | 0.04671674615314281 |
| 13 | 1.9605988124330817e11 | 3.807325552826988e22 | 0.07431403244734014 |
| 14 | 3.5751347823104315e11 | 4.612719853150334e22 | 0.08524440819787316 |
| 15 | 8.21627123645597e11 | 5.901011420218566e22 | 0.07549379969947623 |
| 16 | 1.5514978880494067e12 | 7.010874106897764e22 | 0.05371328339202819 |
| 17 | 3.694735918486229e12 | 8.568905825736165e22 | 0.025427146237412046 |
| 18 | 7.650109016515867e12 | 1.0144799361044434e23 | 0.009078647283519814 |
| 19 | 1.1435273749721195e13 | 1.1990376202371257e23 | 0.0019098182994383706 |
| 20 | 2.7924106393680727e13 | 1.4019117414318134e23 | 0.00019070876336257925 |

Tabela 10: Sprawdzenie zer na zedytowanym wielomianie

| k | $ P(z_k) $ | $ p(z_k) $ | $ z_k - k $ |
|----------|-----------------------|-----------------------|------------------------|
| 1 | 20259.872313418207 | 3.0131001276845885e6 | 1.6431300764452317e-13 |
| 2 | 346541.4137593836 | 7.37869763029606e19 | 5.503730804434781e-11 |
| 3 | 2.2580597001197007e6 | 3.320413920110016e20 | 3.3965799062229962e-9 |
| 4 | 1.0542631790395478e7 | 8.854437817429642e20 | 8.972436216225788e-8 |
| 5 | 3.757830916585153e7 | 1.844672697408419e21 | 1.4261120897529622e-6 |
| 6 | 1.3140943325569446e8 | 3.320450195282313e21 | 2.0476673030955794e-5 |
| 7 | 3.939355874647618e8 | 5.422366528916004e21 | 0.00039792957757978087 |
| 8 | 1.184986961371896e9 | 8.289399860984408e21 | 0.007772029099445632 |
| 9 | 2.2255221233077707e9 | 1.160747250177049e22 | 0.0841836320674414 |
| 10 | 1.0677921232930157e10 | 1.7212892853670706e22 | 0.6519586830380407 |
| 11 | 1.0677921232930157e10 | 1.7212892853670706e22 | 1.1109180272716561 |
| 12 | 3.1401962344429485e10 | 2.8568401004080956e22 | 1.665281290598479 |
| 13 | 3.1401962344429485e10 | 2.8568401004080956e22 | 2.0458202766784277 |
| 14 | 2.157665405951858e11 | 4.934647147686795e22 | 2.518835871190904 |
| 15 | 2.157665405951858e11 | 4.934647147686795e22 | 2.7128805312847097 |
| 16 | 4.850110893921027e11 | 8.484694713563005e22 | 2.9060018735375106 |
| 17 | 4.850110893921027e11 | 8.484694713563005e22 | 2.825483521349608 |
| 18 | 4.557199223869993e12 | 1.3181947820607215e23 | 2.4540214463129764 |
| 19 | 4.557199223869993e12 | 1.3181947820607215e23 | 2.0043294443099486 |
| 20 | 8.756386551865696e12 | 1.5911084081430876e23 | 0.8469102151947894 |

4.4 Wnioski

1. Metoda *roots* nie zwróciła nam prawidłowych zer wielomianu, ponieważ podstawiając je do postaci kanonicznej jak i iloczynowej wielomian się nie zeruje.
2. Błędy mogą wynikać z reprezentacji współczynników podanego wielomianu w arytmetyce komputera. Arytmetyka w Float64 w języku Julia ma od 15 do 17 cyfr znaczących w systemie dziesiętnym, a niektóre współczynniki mają więcej cyfr.
3. Niewielka zmiana danych rzutuje kolosalną zmianą wyników, co sugeruje, że zadanie jest źle uwarunkowane.

5 Zadanie 5.

5.1 Opis problemu

Badanie rekurencyjnego algorytmu do modelowania wzrostu populacji.
Sprawdzenie wyników w 3 sposobach iteracji funkcji:

1. 40 iteracji we Float32
2. 40 iteracji we Float64
3. 4 x 10 iteracji we Float 64, po każdych 10 obcięcie mantysy do 3 cyfr

Wzór:

$$p_{n+1} := p_n + rp_n(1 - p_n)$$

5.2 Sposób rozwiązania

Zastosowanie wprost wzoru rekurencyjnego na opisane 3 sposoby.

5.3 Wyniki

1. 40 iterations Float32: 0.25860548
2. 40 iterations Float64: 0.011611238029748606
3. 4x10 iter. + truncate: 0.71587336

5.4 Wnioski

1. Wyniki mocno zależą od precyzji arytmetyki.
2. Niewielkie zaburzenia danych - błędy reprezentacji i zaokrągleń drastycznie wpływają na końcowy rezultat, ponieważ w każdej kolejnej rekursji błędy się akumulują, narastają.

6 Zadanie 6.

6.1 Opis problemu

Badanie iteracji równania rekurencyjnego:

$$x_{n+1} := x_n^2 + c$$

Danych jest 7 zestawów wartości c i x_0 . Na każdym wykonujemy 40 kroków rekurencji.

6.2 Wyniki

1. $c = -2.0, x_0 = 1.0 : x_{40} = -1.0$
2. $c = -2.0, x_0 = 2.0 : x_{40} = 2.0$
3. $c = -2.0, x_0 = 1.9999999999999999 : x_{40} = 1.2926797271549244$
4. $c = -1.0, x_0 = 1.0 : x_{40} = 0.0$
5. $c = -1.0, x_0 = -1.0 : x_{40} = 0.0$
6. $c = -1.0, x_0 = 0.75 : x_{40} = 0.0$
7. $c = -1.0, x_0 = 0.25 : x_{40} = -1.0$

6.3 Wnioski

1. Błędy arytmetyki mocno się akumulują. Dla wartości x_0 równych 0.25 oraz 0.75 wynik zbiega do liczby całkowitej dosyć szybko - po 10 iteracjach - zbiegają do liczby całkowitej.
2. Zmiana wartości startowej z 2.0 na 1.9999999999 znacząco zaburza kolejne iteracje właśnie ze względu na błędy zaokrągleń.
3. Przy takich algorytmach musimy zapewnić maksymalną precyzję.

